

塑性を考慮した板の弾塑性解析

東北大学工学部 正員 佐武正社
東北大学大学院 学生員 O. 阿部 寿

1. まえがき

従来、板の弾塑性解析は多くの研究があり、例えは差分法を用いたものには、Ang & Lopez¹⁾、山崎、太田、坂本²⁾、色部³⁾等があり、有限要素法を用いたものには小杉、板橋、塙井⁴⁾などの研究がある。又板の耐荷力を合理的に見積る解析法は降伏条件式や板の塑性域の定義の仕方により多様である。塑性域の振がりを考える場合に板の表面が降伏応力に達した時、その点の断面全てが降伏するとする簡便な方法^{1), 2)}もあるが板の塑性状態を3次元的に扱って、板厚方向にも逐次塑性域を振がりゆくという方法^{2), 4)}の方がより合理的であると考えられる。

本論文では後者の立場から3次の様な解析を行う。応力増分と歪増分の間に線型関係を仮定することにより、微小変形理論に基づき板の方程式を増分形で一般的に表現し、それを弾塑性解析に適用するに当っては、Hillの降伏条件式を塑性ポテンシャルとして山田によじて説明された応力-歪マトリックス⁶⁾を用いる方法を使う。こうして塑性限界性^{注)}を考慮した場合について、塑性域の振がりを板厚方向にも追跡し解析を行ったものである。最後に Lopez 等の結果と比較し 考察を行った。

2. 基礎方程式の誘導

応力増分と歪増分の間に塑性域に亘る以下の関係がある。

$$\begin{pmatrix} d\sigma_x \\ d\sigma_y \\ d\tau_{xy} \end{pmatrix} = \begin{pmatrix} A_{11} & A_{12} & A_{13} \\ A_{12} & A_{22} & A_{23} \\ A_{13} & A_{23} & A_{33} \end{pmatrix} \begin{pmatrix} d\varepsilon_x \\ d\varepsilon_y \\ d\gamma_{xy} \end{pmatrix} \quad (2.1)$$

ここで A_{ij} は一般に応力及び歪の函数である。

また歪増分は曲率増分を用いて

$$d\varepsilon_x = -Z \frac{\partial^2 dW}{\partial x^2}, \quad d\varepsilon_y = -Z \frac{\partial^2 dW}{\partial y^2}, \quad d\gamma_{xy} = -2Z \frac{\partial^2 dW}{\partial x \partial y} \quad (2.2)$$

となる。 dW はたわみ増分である。

モーメント増分 dM_x, dM_y, dM_{xy} と曲率増分との関係は次式で与えられる。

$$\begin{pmatrix} dM_x \\ dM_y \\ -dM_{xy} \end{pmatrix} = \begin{pmatrix} A_{11} & A_{12} & A_{13} \\ A_{12} & A_{22} & A_{23} \\ A_{13} & A_{23} & A_{33} \end{pmatrix} \begin{pmatrix} -\frac{\partial^2 dW}{\partial x^2} \\ -\frac{\partial^2 dW}{\partial y^2} \\ -2 \frac{\partial^2 dW}{\partial x \partial y} \end{pmatrix} \quad (2.3)$$

$\therefore Z^2 A_{ij} = \int_{-\frac{h}{2}}^{\frac{h}{2}} A_{ij} Z^2 dz$ $Z^2 A_{ij}$ は x, y の函数である。

(2.3) 式を (2.4) 式で与えられた平衡方程式に代入して整理すると板の方程式となる (2.5) 式が得られる。

$$\frac{\partial^2 dM_x}{\partial x^2} - 2 \frac{\partial^2 dM_{xy}}{\partial x \partial y} + \frac{\partial^2 dM_y}{\partial y^2} = -dg \quad (2.4)$$

$$A_1 \frac{\partial^4 dW}{\partial x^4} + A_2 \frac{\partial^4 dW}{\partial x^2 \partial y^2} + A_3 \frac{\partial^4 dW}{\partial x^2 \partial y^4} + A_4 \frac{\partial^4 dW}{\partial x \partial y^3} + A_5 \frac{\partial^4 dW}{\partial y^4} \\ + B_1 \frac{\partial^3 dW}{\partial x^3} + B_2 \frac{\partial^3 dW}{\partial x^2 \partial y} + B_3 \frac{\partial^3 dW}{\partial x \partial y^2} + B_4 \frac{\partial^3 dW}{\partial y^3} \\ + C_1 \frac{\partial^2 dW}{\partial x^2} + C_2 \frac{\partial^2 dW}{\partial x \partial y} + C_3 \frac{\partial^2 dW}{\partial y^2} = dg \quad (2.5)$$

$$\therefore \text{左} \quad A_1 = A_{11}, \quad A_2 = 4A_{13}, \quad A_3 = 2A_{12} + 4A_{33}, \quad A_4 = 2A_{23}, \quad A_5 = A_{22} \\ B_1 = 2 \frac{\partial A_{11}}{\partial x} + 2 \frac{\partial^2 A_{13}}{\partial y^2}, \quad B_2 = 6 \frac{\partial A_{12}}{\partial x} + 4 \frac{\partial A_{23}}{\partial y} + 2 \frac{\partial^2 A_{12}}{\partial y^2}, \quad B_3 = 6 \frac{\partial A_{23}}{\partial y} + 4 \frac{\partial A_{33}}{\partial x} + 2 \frac{\partial^2 A_{23}}{\partial x^2}, \quad B_4 = 2 \frac{\partial A_{23}}{\partial x} + 2 \frac{\partial^2 A_{22}}{\partial y^2} \\ C_1 = \frac{\partial^2 A_{11}}{\partial x^2} + 2 \frac{\partial^2 A_{13}}{\partial x \partial y} + \frac{\partial^2 A_{12}}{\partial y^2}, \quad C_2 = 2 \frac{\partial^2 A_{12}}{\partial x^2} + 4 \frac{\partial^2 A_{23}}{\partial x \partial y} + 2 \frac{\partial^2 A_{22}}{\partial y^2}, \quad C_3 = \frac{\partial^2 A_{23}}{\partial x^2} + 2 \frac{\partial^2 A_{33}}{\partial x \partial y} + \frac{\partial^2 A_{22}}{\partial y^2}$$

(2.5)式を弾塑性解析に用いる為に、ここでは簡略化した点に対して(2.1)式の関係として山田による式を用いる事にする。

$$\begin{pmatrix} d\Gamma_x \\ d\Gamma_y \\ d\Gamma_{xy} \end{pmatrix} = \begin{pmatrix} d_{11} - \frac{S_1^2}{S} & d_{12} - \frac{S_1 S_2}{S} & -\frac{S_2 S_3}{S} \\ d_{21} - \frac{S_2^2}{S} & d_{22} - \frac{S_2 S_3}{S} & -\frac{S_3 S_1}{S} \\ d_{31} - \frac{S_3^2}{S} & d_{32} & \end{pmatrix} \begin{pmatrix} d\varepsilon_x \\ d\varepsilon_y \\ d\varepsilon_{xy} \end{pmatrix} \quad (2.6)$$

$$S = \frac{G}{F} \bar{\varepsilon}^2 H' + d_{11} \bar{\Gamma}_x'^2 + 2d_{12} \bar{\Gamma}_x' \bar{\Gamma}_y' + d_{22} \bar{\Gamma}_y'^2 + 4d_{33} \bar{\Gamma}_{xy}'^2 \\ S_1 = (d_{11} \bar{\Gamma}_x' + d_{12} \bar{\Gamma}_y') \quad S_2 = (d_{12} \bar{\Gamma}_x' + d_{22} \bar{\Gamma}_y') \quad S_3 = 2d_{33} \bar{\Gamma}_{xy}' \\ \bar{\Gamma}_x' = \frac{1}{F+G+H} (H(\bar{\Gamma}_x - \bar{\Gamma}_y) + G\bar{\Gamma}_x), \quad \bar{\Gamma}_y' = \frac{1}{F+G+H} (F\bar{\Gamma}_y + H(\bar{\Gamma}_y - \bar{\Gamma}_x)), \quad \bar{\Gamma}_{xy}' = \frac{N}{F+G+H} \bar{\Gamma}_{xy}$$

ここで F, G, H, N は Hell の異方性パラメータである。また $F = G = H = 3N$ の時は等方性の場合である。

3. 計算法

(2.5)式を解く為にここでは差分法を用いる。中央差分を用いて(2.5)式を差分化すると次の連立方程式が得られる。 x 方向、 y 方向の分割数をそれぞれ M, N とする。

$$A \cdot dW + B \cdot dW + C \cdot dW = dg \quad (3.1)$$

ここで A, B, C はそれぞれ $MN \times MN$ の MN 次ベクトルである。また A_{ij} の微分項が無視できる場合は(3.1)式の B, C はトリクスは省略できる。計算例ではこれを無視してある。

計算手順は次の様に有る。

1. 初期状態として弾性解を求める。

2. $(n-2)$ 回目までの荷重増分に対する累積たわみ、応力をそれぞれ $\bar{w}_{n-2}, \bar{\Gamma}_{n-2}$ とし $(n-1)$ 回目の荷重 \bar{w}_n についての異方性とは、圧延を受ける板では圧延の方向と、それと直角な方向等とでは、引張試験による強度応力が異なる事を意味し、そのちがいをパラメーターで示したものである。また厳密にはこのパラメーターの値はその後に受けた歪の函数によるが変形が小さければ、変形中にその値は変化しないと言えよう。^{注)}

重増分に対する左ゆき増分 $d\omega_{m-1}$ 、応力増分 $d\sigma_{m-1}$ を式(2)で計算して $\Delta\omega_m$ 、 $\Delta\sigma_m$ に加算する。

3. こうして求めた $\Delta\omega_m$ が3 階状領域を求める。階状領域に対しては(2.6)式の関係を利用して(2.5)式を導き、それを m 回目の荷重増分に対する方程式とする。

4. 以上の操作を板が塑性域の振ざりによって不安定となるまでくり返す。

4. 計算例

荷分布荷重を受ける四辺単純支持正方形板について塑性異方性を考慮する場合としつ場合との二つの計算例を示す。右お分割は 5×5 である。また荷重増分間隔は荷重倍率 β/β_e に増加させていく。
3. β_e は弾性限界荷重である。

i). 塑性等方工非硬化材料の場合 (図は板の $1/4$ を示す)。

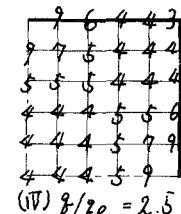
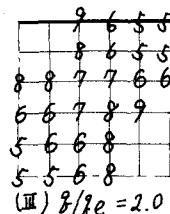
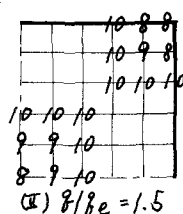
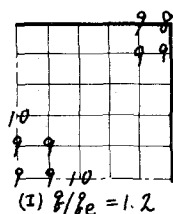


図 1

ii). 塑性異方性の場合。

この場合 Hill の異方性パラメータ及び硬化率 H' は次の値を与えた。

$$A = 0.5 \quad G = 0.4 \quad H = 1.0 \quad N = 1.35 \quad H/E = 0.001$$

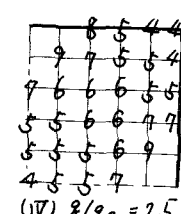
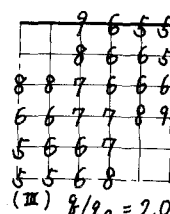
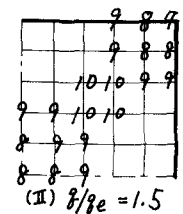
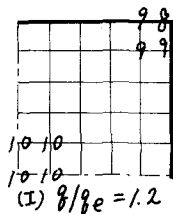
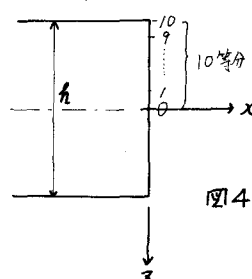
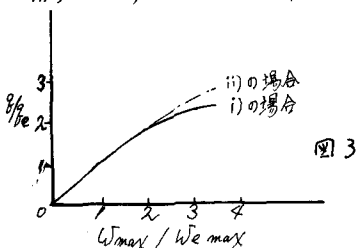


図 2

右お図の数字は図1で示した番号の深さまで塑性域が進行した事を示す。

また荷重-最大たわみ曲線は図3の様になる。 ω_{max} は弾性限界荷重の最大たわみである。



5. 参照

計算例で示した i) の場合について Lopex 等の結果と比較して図3。

Lopez等の結果

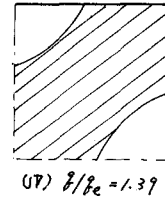
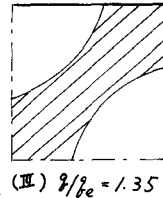
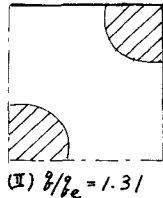


図5

この場合 \boxed{III} の部分は全断面降伏状を示す。

図1と図5を比較してみると図1のⅢの状態は図5のⅣの状態に対応し、ⅣはⅡとⅢの間に対応すると言えます事ができます。

本解法に従うと図1のⅣの状態でも板はまだ全断面降伏したとは言えず、更に荷重を増加させ得る。この様に塑性域の振がりを板厚方向にも追跡した場合とそうでない場合とでは耐荷力に大きな差が生じる。しかし図1のⅣの状態から更に荷重を増加させると変形は非常に大きくなるものに向ってくる為に、微小変形の仮定は適当でなくなる。是非最終的な耐荷力を決定するには大変形理論によることを示す事が必要となる。くる。

また図に示す様に塑性異方性を考慮すると塑性域の振がりが、この例では床り明確ではないが対称でなくなる、くる。更にA,G,H,N板の形状、境界条件を変化させれば異なる様子が得られる。

b. あとがき

以上、応力増分と歪増分の間に(2.1)式の線型関係があり事を基礎として弾塑性問題を解析する方法を説明した。この方法では弾性、塑性の両者に対して同一の方法が通用できる利点もあるが、考察述べた様に最終的耐荷力を求める解析を行う為には大変形理論を用いなければならぬ。しかし板の塑性領域の進行していく過程を知る一つの方法として有用であると言えます。

参考文献

- 1) A.H.S.Ang & A.Lopez "Discrete Model Analysis of Elasto-Plastic Plates" Proc of A.S.C.E., Vol 94, Feb 1968, P271~293.
- 2) 山崎徳也、太田俊郎、坂本統二"板厚方向の塑性域の振がりを考慮した板の弾塑性解析、第24回土木学会講演概要工、昭和44年、P63~66。
- 3) 色部 誠"直交異方性長方形板の弾塑性挙動、第24回土木学会講演概要工、昭和44年、P59~62。
- 4) 小杉清吾、坂橋啓治、坂井健一郎"弾塑性問題の解析法に関する一考察、第26回土木学会講演概要工、昭和46年、P437~439。
- 5) 山田嘉昭"塑性力学、日刊工業新聞社、P57。
- 6) 山田嘉昭"異方性材料の応力歪エントリックとその応用、エトワイス構造解析"論議文集、昭和44年、P371~376。
- 7) Garofalo, F. & Low, J.R.Jr "J. Mech. Phys. Solid., 3-4 (1955), P275.